

## 模型実験における鉛直壁が飽和砂の液状化特性に及ぼす影響

長岡技術科学大 大学院 ○ 中山 裕司  
 長岡技術科学大 工学部 小川 正二  
 長岡技術科学大 工学部 喜井 健史

## (1) まえがき

地震時ににおける砂地盤の液状化現象による被害が多くなる。  
 基盤と境界付近の砂層に発生しうることが報告されてい  
 る<sup>1)</sup>。このような現象を解明するためにはFEM等を用いた数値  
 解析が行なわれているが<sup>2)</sup>、実験上、これらの現象を把握して  
 いる例は少ない。本報は以上の観点に基づき  
 刚な鉛直壁を有する飽和砂層の模型振動実験を行な  
 い、鉛直壁が液状化特性に及ぼす影響について述べ  
 たい。

## (2) 実験概要

実験には、新潟市四郷産より採取した山砂を、  
 0.074mmフルイで水洗いして用い、その物理  
 特性は表-1に示すとおりである。

実験装置は、図-1に示すように剛な工槽を振動台上に設置したもので、工槽正面には目視できるよ  
 うに透明なアクリル樹脂板を取り付けである。液状化に伴う砂層の支持力低下を測定するため、直径  
 18mm、高さ10mmの円柱錐に繊維のついた直径1mm、  
 長さ500mmのピアノ線を取り付け、接地圧960Paに調整した沈下錐を用  
 いて。また、深さの違いによる砂層の振動挙動を測定するに、寸法  
 1mm×15mm×380mmの鋼板にひずみゲージをはりつけた模型杭を工槽中央に固定してある。

砂層は、工槽に水を張り砂を水中で2mmフルイを通してから投入し、  
 自然に沈降堆積させて作成した。なお、この砂層の堆積途中に図-1に  
 示す場所に沈下錐と間隙水圧計を埋設した。振動は、周波数5Hz、加速度  
 150galの正弦波で液状化が終了するまで与え、過剰間隙水圧、杭のひ  
 ずみ、及び沈下錐の沈下挙動を観測した。

## (3) 実験結果及考察

液状化時の間隙水圧記録を模式的に描けば、図-2のようである。こ  
 の水圧記録における交番変動値を( $P_d$ )、初期値と二交番変動の中心  
 値との差を( $\Delta u$ )として。

振動回数とヒートに変化する $\Delta u/G'_v$ ( $G'_v$ は測定点より上の砂層の有効  
 重量)と、中心からの距離 $x$ と工槽の半幅 $B/2$ との比( $x/(B/2)$ )との  
 関係を図-3に示した。 $\Delta u/G'_v$ の上昇過程に若干の違いはあるが

表-1 試料の物理特性

$G_s$	$e_{max}$	$e_{min}$	$D_{10}(mm)$	$D_{60}(mm)$
2.66	1.09	0.671	0.14	0.24

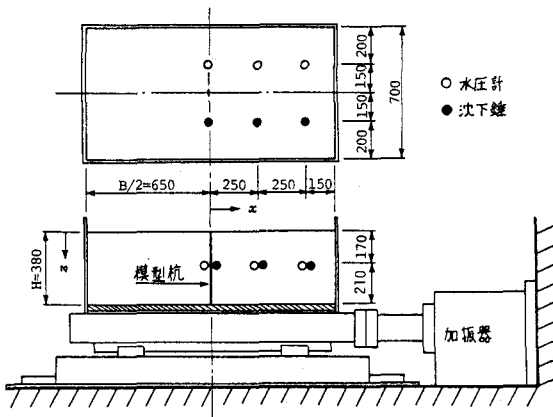


図-1 実験装置

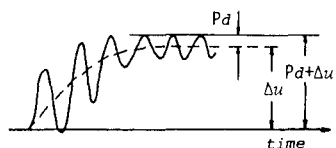
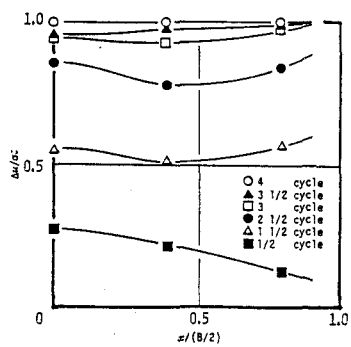


図-2 間隙水圧記録模式図

図-3  $\Delta u/G'_v - x/(B/2)$

17cm の深さでは約4cycle ごとに位置にわたりて液状化状態に達していることがわかる。しかし、振動砂層中の $P_d$ の挙動は中央部と鉛直壁付近とでは大きな違いがあり(図-4)、 $P_d/\Gamma_v'$ は、液状化時、非液状化時において木における土槽中央部と最小値となり、鉛直壁に近づくにつれて大きくなる。このことから、振動時の砂層に発生する過剰間隙水圧の最大値は $(\Delta U + P_d)$

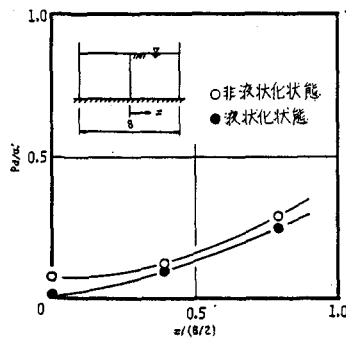


図-4  $P_d/\Gamma_v' - X/(B/2)$

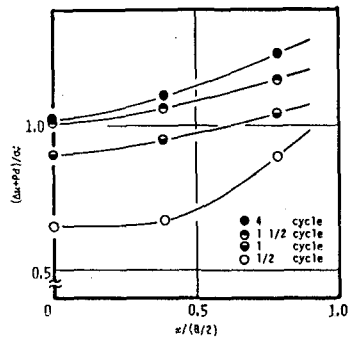


図-5  $(\Delta U + P_d)/\Gamma_v' - X/(B/2)$

であり、この値が砂層の液状化の発生状況に大きな影響を及ぼすものであり、 $(\Delta U + P_d)/\Gamma_v'$  と  $(X/(B/2))$  の関係を示すと、図-5となる。図より、 $(\Delta U + P_d)/\Gamma_v'$  の値は中央部よりも鉛直壁付近の方が大きく、振動時の砂層の液状化は、土槽中央部よりも鉛直壁付近の方が早期に起こり、液状化の程度も大きい。さらに、次下盤の沈下速度の位置的変化をみると図-6のようになる。次下盤の沈下速度は液状化による砂層の支持力低下の度合を表す可指標であるから、図-6に示すように鉛直壁に近づくにつれて沈下速度は大きくなることより、壁面付近の液状化による支持力低下が著しいことがわかる。したがって、液状化の発生状況と支持力の低下の割合は、基盤形状の影響を受けることは明白である。

一方、振動時の模型杭に作用するせん断力と深さの関係(図-7)をみると、せん断力が急激下る部分は大きな荷重が作用する部分であるから、その上層と下層では、位相の異なる動きをしていることが考えられる。その位置は振動回数とともに上層に向って移動し、約5cycle でせん断力は一様化している。二回奇動から、本実験におけるは、液状化の砂層下部から上部へと進行している。約5cycle で全層液状化に達しているものと考えられる。

#### (4) 結論

模型振動実験における鉛直壁付近の砂層は、中央部よりも液状化の程度が著しくなるとともに、下部の砂層から液状化が発生する可能性がありうることを示した。本報告はあくまで模型実験の結果とし得るものであるが、自然の砂層地盤における同じような力導動が生じていることを考えてもよろしい。

#### [参考文献]

- 吉藤田、若松：1985 “青森県西部および秋田県北部地域の液状化履歴とその特徴” 第20回土質工学研究発表会発表講演集 2分冊a 1 pp. 801～804
- 渡辺、大樹：1985 “傾斜基盤を有する不整形地盤における2次元液状化解析” 第40回工木学会年次学術講演会講演集 第3部門 pp. 55～56.

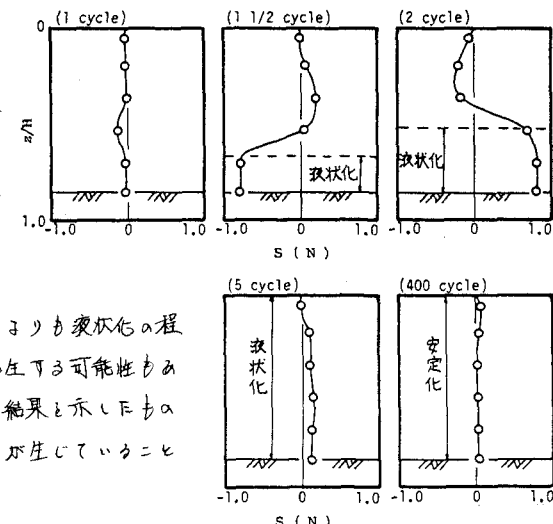


図-7  $Z/H - S$